

(229)

純鉄の硬化過程の電顕直接観察

東大工学部 井形直弘
東海大専大専院・鰐戸佐智生

1. 目的 本研究の目的は純鉄多結晶を用いて引張硬化過程における転位の挙動を C 及び N の量及び状態と関連づけ、しらべることを目的として行った。

2. 試料及び実験方法

表1 試料の純度及び最終処理条件

試料	処理	粒度	C, N
A	70 ppm C 及び 35 ppm N を含む Puron (Westinghouse 社製純鉄)	水素及ウアルゴン気流中で 2 回熱溶解 60 分 加工 成形後 580°C 10 分 烧きまし	30 μ 少ない
B		60 % 加工成形後 750°C 2 時間加熱放冷	30 μ 固溶
C		試料 A と 1 年半室温時効	30 μ 株出(撫定)

引張試験片の形状は $0.4 \times 10 \times 50$ mm (平行部) と 100 kg 逆速度引張試験機を用いた。その逆速度 1.7×10^{-3} /sec の引張りの場合の平均応力歪線図及び除荷した歪を大々の試料につき矢印で示す。(図1) 降伏過程観察試料は Lüders 帯の中から採取した。電顕は 150 KV TEM を用いた。

3. 実験結果 応力歪線図に沿って観測する場合、Lüders 帯は降伏前すぐのみとめられ、Lüders 帯の中では転位ループ、転位タンクル、転位 junction がみとめられ、下降伏過程ではこれら変化と Lüders 帯の進行とが平行する。転位密度の Lüders 帯中の変化は少い。下降伏過程の次には加工硬化過程に入るが、加工硬化の途中でこの隙セル形成がみとめられるが、セルが形成される場合転位に臨界密度がみとめられる。その臨界転位密度を 図3 中に示す。この値で示されるように $3.2 \times 10^9 / \text{cm}^2$ (A) $4.2 \times 10^9 / \text{cm}^2$ (B) $3.2 \times 10^9 / \text{cm}^2$ (C) である。また A' (grain size 750 μ) の場合にも $3.1 \times 10^9 / \text{cm}^2$ (A') であった。ただし (C) の場合析出物周辺の転位を除く。

4. 考論 ①転位ループの形成 転位ループの形成は転位密度及び固溶 C 及び N の量及び状態と関係していることが明らかである。(図2) ②セルの形成 ある臨界転位密度でセルが形成されることは歪エネルギーがある一定量に達した場合に driving の力が働くことが考えられ以下について論じ度い。 ③転位間の反応について 転位の junction について burgers vector をしらべたが <111> 転位の他に <112> 転位がみとめられた。 ④

降伏強度 降伏強度を control する因とは静的因と動的因に分けられ考え得る。

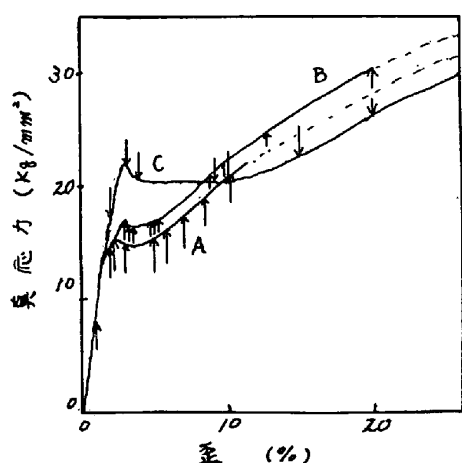


図1 応力-歪曲線

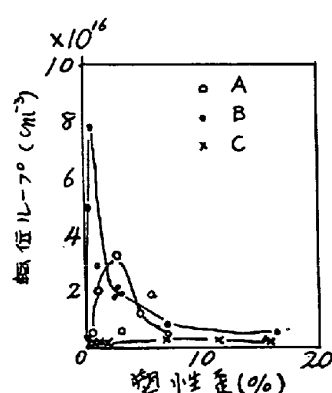


図2 転位ループ - 塑性歪

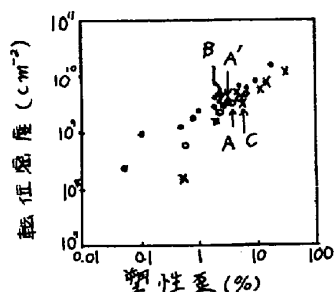


図3 転位密度 - 塑性歪